

大阪市大 正員 倉田 宗 章
明石高専 正員 高端 宏直

要旨

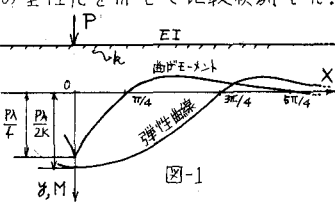
地上によくたわる梁は従来一般に弾性基礎上の梁として取扱われているが、基礎は元来非線型的な性質をもっていると考えられるので、本文では地上の無限長の梁に1集中荷重が鉛直下方に作用した場合につき従来のWinklerの仮定の基礎とbilinearな基礎とを考えて深の塑性化を併せて比較検討した。

(1)従来の解法……これは梁+基礎+塑性化しない場合に相当し弾性

基礎上の梁としてM. Hetényi等によって解かれている。地盤反力 p と境界量 γ は $\gamma = ky$ の関係にあり解式は次の通りである。

$$\gamma = \frac{P\lambda}{2k} A_x, \quad \theta = -\frac{P\lambda^2}{k} B_x, \quad M = \frac{P\lambda}{4} C_x, \quad Q = -\frac{P}{2} D_x \quad \dots \dots \dots (1)$$

ただし $\lambda = \sqrt{\frac{k}{EI}}$, $X = \lambda x$, $A_x = e^X (\cos X + \sin X)$, $B_x = e^X \sin X$, $C_x = e^X (\cos X - \sin X)$, $D_x = e^X \cos X$, (図-1 参照)



(2)基礎のみが塑性化する場合……荷重 P が P^* のときに基礎が塑性化して載荷

卓下の挠みが $\gamma_0 = y_0 \left(\frac{P^*}{2R} \right)$, $p = p_0 \left(= ky_0 = \frac{P^*}{2} \right)$ になるものとする。基礎は図-2の

ような bilinearに表わし、梁は図-3のように I と II の領域にわけ不静定力 M_0 と

Q_0 を作用さす。領域 I は支間 L で荷重 y_0 , M_0 , Q_0 が作用する片持梁と考え、領域

II は B 点に鉛直モーメント M_0 が作用する弾性基礎上の半無限長の梁で y_0 と M_0 は

$$y_0 = \frac{P^*}{2k} \left(D_{x_0} + 4B_{x_0} \right), \quad M_0 = \frac{P^*}{\lambda} \left(ID_{x_0} - \frac{B_{x_0}}{4} \right) \quad \dots \dots \dots (2)$$

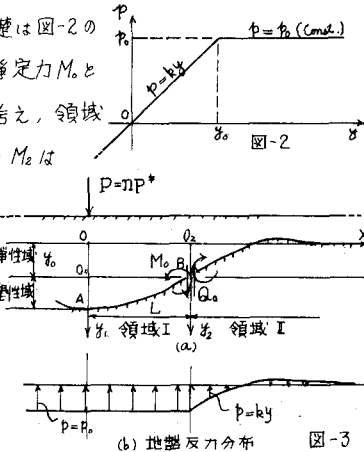
ただし $M_0 = P^*$ である。ここで未知数 γ , Q_0 , L を求めるには領域 I の

力の釣合と B 点における挠み角と剪断力の連続条件より

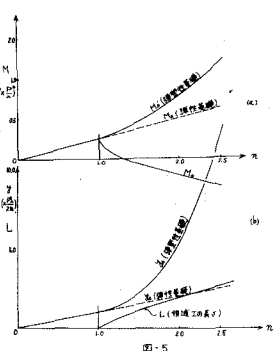
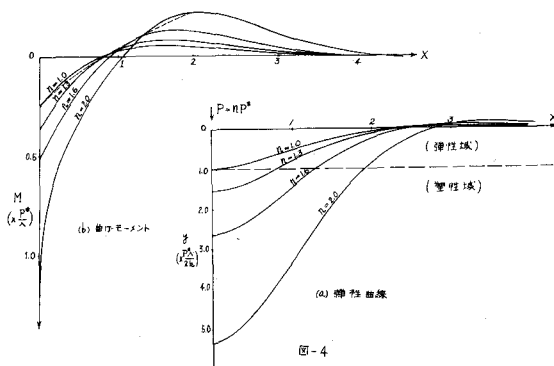
$$\begin{aligned} Q_0 &= \frac{P^*}{2} (n-L), \quad \gamma = (2n-2L-1)/4 \\ 4L^3 + 6(2-n)L^2 + 12(1-n)L + 6(1-n) &= 0, \quad \text{ただし } P = nP^* \end{aligned} \quad \dots \dots \dots (3)$$

の連立方程式がえられしこれらの解を求める事ができる。図-4に種

々の n に対する弾性曲線と曲げモーメントを、図-5に n と L , M_0 , M_0



および y_0 の関係を示した。



使用記号。EI: 曲げ剛さ, k : ばね常数, y : 挠み, θ : 挠み角, M : 曲げモーメント, Q : 剪断力, M_p : 全塑性モーメント, y_p : 地盤反力, P , P^* : 集中荷重,

(3) 梁のみが塑性化する場合……最初に梁が塑性化する点は図-1等により集中荷重の載荷点である事がわかる。その時の荷重を $P_{c1} = \bar{n}P^*$ 、挠みを y_{c1} 、全塑性モーメントを M_p とするとき (1)式より

$$P_{c1} = \bar{n}P^* = 4\lambda_j M_p, \quad y_{c1} = \frac{2\lambda_j^2 M_p}{k} \quad (\text{こゝでは } j=1) \quad \dots \dots \dots \quad (4)$$

となる。第1鉄発生後さらに荷重 $\Delta P_1 (= \bar{n}'P^*)$ を加えたときに第2塑性鉄が発生したとする。その時の状態を図-6に示した。そこで

$$\Delta P_1 = \bar{n}'P^* = 4\lambda_i M_p \quad \dots \dots \dots \quad (5) \quad \text{とすれば曲げモーメントは } M =$$

$-M_p(2iB_x + C_x)$ で表わされ第2鉄発生位置を X_2 とすると。

$$[M]_{X=X_2} = -M_p, \quad X_2 = \tan^{-1}(1+i), \quad (\because \frac{dy}{dx} = 0) \quad \dots \dots \dots \quad (6) \quad (\text{図-6(b)参照})$$

より $X_2 = 1.059$, $i = 1.437$ が得られる。これらより第2鉄発生に要する荷重 P_{c2} と載荷点下の挠み y_{c2} は次のようになる。

$$P_{c2} = (\bar{n} + \bar{n}')P^* = 1.370P^* = 9.74\lambda M_p, \quad y_{c2} = 7.74 \frac{\lambda^2 M_p}{k} \quad \dots \dots \dots \quad (7) \quad (\therefore \frac{P_{c2}}{P_{c1}} = 1.37, \frac{y_{c2}}{y_{c1}} = 3.87)$$

また第2鉄発生時において弾性基礎である為の条件は $\bar{n} < 1$ より \bar{n} が 0.258 の範囲であればよい。さらに第3鉄発生の可能性もあるが実際的でないので省略する。

(4) 基礎、梁ともに塑性化する場合……第1鉄発生時には本文(2)でのべたように基礎が塑性化している場合で \bar{n} が $\bar{n} > 1$ の場合にあたる。図-7(a)は第1鉄発生時を示し $M_A = M_p (= \frac{P^*}{4\lambda} l, \bar{s} = 48 + 2\bar{n}l - l^2)$ の状態であり P_{c1} は

$$P_{c1} = \bar{n}P^* = 4\lambda_j M_p \quad \text{ただし } \frac{1}{j} = \left(\frac{4\bar{s}}{n} + 2L - \frac{l^2}{n}\right) \quad \dots \dots \dots \quad (8) \quad \text{となり図-7(b)は第2鉄発生時を示し、領域Iの長さ } L', \text{ 鉄発生位置 } X_2, \text{ 追加荷重 } \Delta P_1 \text{ は図-6(b)と同様の考え方で求まる。まずB点での剪断力の連続条件より } L'^2 - 2\left[\bar{n}(1 + \frac{i}{j}) - 1\right]L' + 1 + \bar{n}\left(\frac{1}{j} - 2\frac{L}{j} - 2\right) = 0 \quad \dots \dots \dots \quad (9)$$

また I 又は II 領域において $M_{max} = M_p$ の条件から次式が成立する。

$$\text{領域I} \quad \frac{j}{n}X_2^2 - 2(i+j)X_2 + 2 = 0, \quad X_2 = \bar{n}(1 + \frac{i}{j}) \quad \dots \dots \dots \quad (10)$$

$$\text{領域II} \quad \frac{j}{n}Bx_2 + \bar{s}Dx_2 + 1 = 0, \quad X_2 = \tan^{-1}\left(\frac{j}{n} + \frac{\bar{s}}{B} - \frac{1}{D}\right) \quad \text{ただし } \bar{s} = -2(i+j) + 1 - \frac{j}{n}L^2, \quad (\text{本式の } X_2 \text{ は } O_2 \text{ は原点にいたる値である。}) \quad \dots \dots \dots \quad (11)$$

これらの方程式から L', X_2, i が求まるが計算結果より本節では (9)式と (10)式を連立に解けばよい事がわかった。

(5) 第1鉄発生時は弾性基礎で第2鉄発生時には基礎が一部塑性化する場合……即ち \bar{n} が $0.258 \leq \bar{n} \leq 1$ の場合で第1鉄発生までは本文(1)又は(3)にあたり第2鉄発生時に至りこれは本文(4)に相当する。 L', X_2, i は (9)式と (11)式より求めればよい。

(6) 種々の検討……図-8に \bar{n} に対する $\bar{n}', y_{c1}, y_{c2}, L, L'$ やよび X_2 の関係を示した。以上概略をのべたが結びとして、i. 本文(2)の場合にはそれが大きくなるにつれて y_{c1} や M_A は急増する。本文(4)の挠みも同じ傾向にある。ii. 第2鉄発生位置 X_2 は本文(4)の場合領域Iにあり、本文(5)の場合には領域IIに生じる。iii. いずれの場合も塑性鉄が2倍以上発生する可能性があるが載荷点の挠み（最大挠み）が増大し鉄発生位置もさらに遠くになるので実際的でなく実用上は第2鉄発生時を崩壊とみなしてよいであろう。

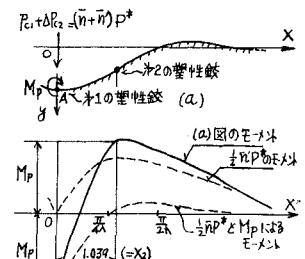


図-6 (b) 第2塑性鉄発生時の曲げモーメント

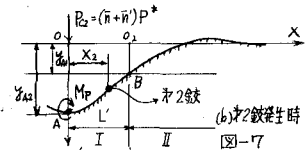
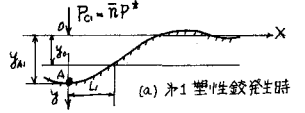
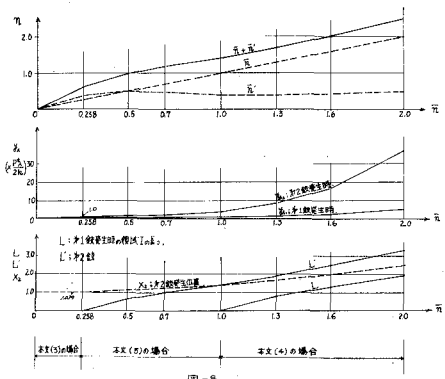


図-7



以上